

# Rapid #: -10816668

CROSS REF ID: **477129**

LENDER: **LHL4CRLRM :: Main Library**

BORROWER: **MDY :: Davis Family Library**

TYPE: Article CC:CCL

JOURNAL TITLE: GFF

USER JOURNAL TITLE: Geografiska Foereningens i Stockholm Foerhandlingar

ARTICLE TITLE: Sedimentproppar och pollendiagram från sjön Erken, östra Mellansverige

ARTICLE AUTHOR: Fries M.

VOLUME: 91

ISSUE:

MONTH:

YEAR: 1969

PAGES: 353-365

ISSN: 1103-5897

OCLC #:

Processed by RapidX: 7/20/2016 2:20:13 PM



This material may be protected by copyright law (Title 17 U.S. Code)

# SEDIMENTPROPPAR OCH POLLENDIAGRAM FRÅN SJÖN ERKEN, ÖSTRA MELLANSVERIGE

Av MAGNUS FRIES

FRIES, M.: Sedimentproppar och pollendiagram från sjön Erken, östra Mellansverige. *Geologiska Föreningens i Stockholm Förhandlingar*, Vol. 91, pp. 353—365. Stockholm, 30 september 1969.

In 1954, an investigation of the sediments and underlying bedrock of Lake Erken was initiated. With the Limnological field laboratory as base, the boring and sampling was carried out from the ice. The following samplers were used for extracting the sediment cores, viz. the Kullenberg piston core sampler (Kullenberg 1947), the Livingstone core sampler (Livingstone 1955) and the soil sampler with metal foils (Kjellman et al. 1950). The object of extracting sediment cores was twofold: (1) to reconstruct the process of post-glacial sedimentation in a part of the basin by studying the character and thickness of sediments, and (2) to make a microfossil analysis of some of the sediment cores, aiming at, for example, an elucidation of the vegetational development in and around the basin.

The sedimentological study, based on ten cores (see the map, Fig. 1), shows a great difference in the sediment thickness between the deep-water site and the bottom plain north of it. There is a tendency to even out the level differences on the bottom. On the basis of the stratigraphy of the cores (Fig. 2), showing varved clay, marine deep-water clay and gyttja-clay, brackish clay-gyttja and finally lacustrine clay-gyttja, some stages of the development of the Erken basin are identified, viz. the stages of ice sea, open sea, firth, and lake. The long firth stage (archipelago with brackish water) is characterized among others by some molluscs and microorganisms (see Fig. 2 and the diagrams Fig. 3—6). *Pediasia* coenobia and other plant fossils represent the lake stage which started a couple of centuries B. C.

The vegetational development in and around the basin is shown by the pollen diagrams, Fig. 3—6. A gradual reduction of the warmth-demanding broad-leaved deciduous trees may be interpreted as a result of partly a climatic deterioration and partly the activity of man during the Late Iron Age and Viking time. The interference of man is also illustrated by the increase of non-arbooreal pollen (NAP), especially of cereals and weeds. In this and other respects the development is similar to the one found at the lake Ösbysjön about 55 km SSW of Lake Erken (Fries 1962, text in English). Problems concerning pollen analysis in coastal areas are also dealt with in the paper of 1962.

Under senvintern 1954 genomfördes en brett upplagd undersökning av sjön Erkens botten, såväl beträffande den fasta berggrundens som de lösa jordlagren. Undersökningen planlades och leddes av professor P. Thorslund<sup>1</sup>, nuv. professor W. Rodhe och förf. Fältarbetet ägde rum från isen med ett stort uppåbåd av apparater och ett flertal deltagare, bl.a. B. Collini, P. Ekman, M.-B. och S. Florin samt E. S. Deevey och D. G. Frey från U.S.A. De sistnämnda introducerade vid detta tillfälle Livingstone core sampler (Livingstone 1955) till Sverige. För upptagning av de lösa sedimenten användes Statens geotekniska instituts foliekärnborr (Kjellman, Kallstenius & Wager 1950), Oceanografiska institutets i Göteborg kolvlodapparatur (Kullenberg 1947) och den ovannämnda, lätthanterliga Livingstone-hämtaren. Berggrundsborrningen utfördes som kärnborrning av Diamantbergborrningsbolaget.

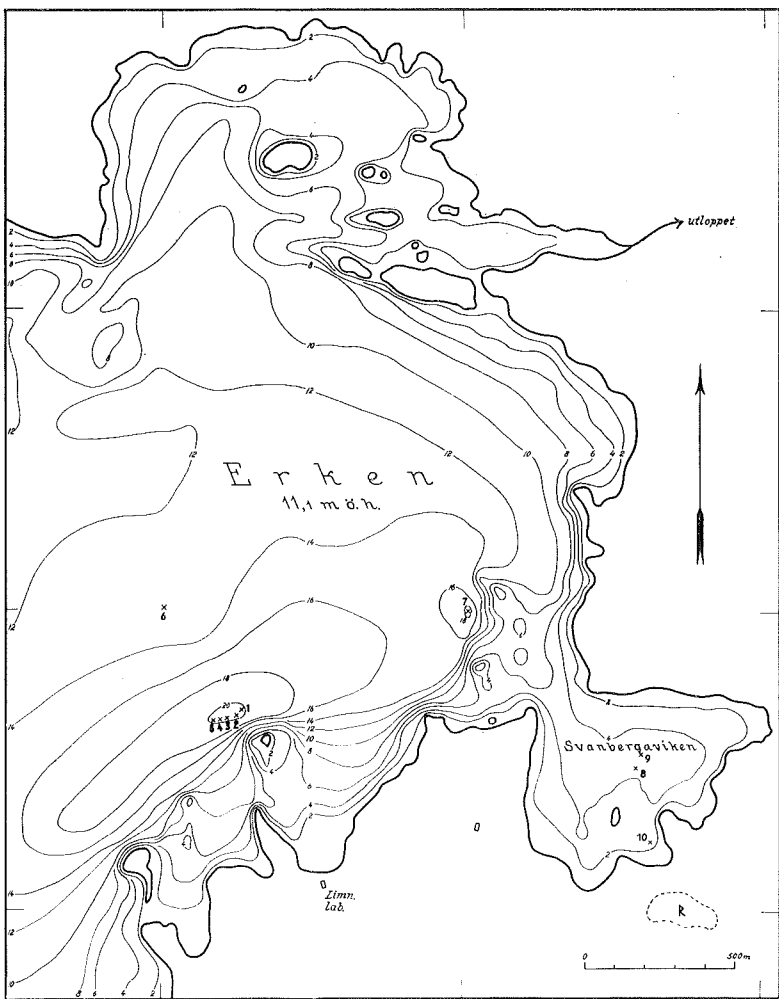


Fig. 1. Karta över östra delen av Erken (ca 65 km NNO om Stockholms centrum) med djupkurvor i meter. Den s. k. djuphålan ca 600 m NNV om Limnologiska laboratoriet. S om denna en brant stigning, mot N däremot ett sakta stigande bottnenplan. Sedimentpropparnas lägen markerade med numrerade kryss 1—10. Gravfältet (yngre järnåldern, ev. vikingatid) S om Svanbergaviken markerat med R. Ursprungliga passströskeln ca 12 m ö. h.

*Map of the eastern part of Lake Erken, approx. 65 km. NNE of Stockholm, with contour lines of depth in meters. The deep-water site is situated about 600 m. NNW of the Limnological Laboratory. South of this site there is a steep rise, towards the north a gently rising bottom plain. The situations of the sediment cores are marked with numbered crosses 1—10. The burial ground (Later Iron Age or Viking time), south of Svanbergaviken, is marked with an R. The original threshold of the lake lay about 12 m. above sea level.*

För nämnda institutioners välvillighet förfogande betygar undersökningsledningens arbete användes Limnologiska laboratoriet i Malmö. Fältarbetet och efterföljande berättelser om det har gjorts av Statens naturvetenskapliga forskningsråd.

Senare ha kompletterande materialinventeringar för den pollenanalytiska undersökningen har under min ledning utförts av anhöriga vid Statens naturvetenskapliga forskningsråd.

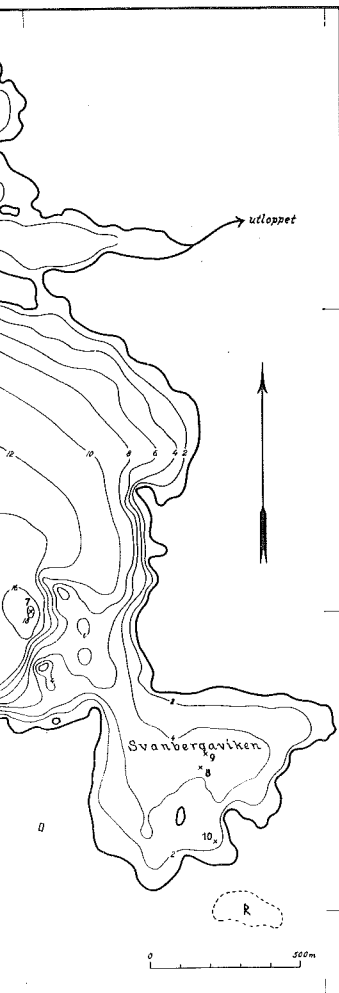
Undersökningen av sedimenten i östra delen av sjön har mest rört sig om:

- 1) Sedimentologisk undersökning, dvs. skaffenhet och fördelning av sedimenten, pollanalys, av utvalt material från för

### Sedimentologisk undersökning

Den djupkarta över östra delen av sjön (fig. 1) visar den branta sänkningen från den djuphålan i söder mot den närmare vattenytan i norr. Från en något vattendjup stiger bottnen mot S brant upp (efter sjöns sänkning på 1850-talet en liten del att den sluttar mycket sakta upp mot bergaviken i sydost utgör en utveckling i rum. Med ledning av denna djupkarta undersöks de första sedimentpropparna som skulle upptagas. Tidigare från Erken av G. Lundqvist (1923 s. 42).

Likaväl som man kunde vänta sig av djuphålan, om sådan bergrund ö. h. t. (Addendum, s. 365), så vore den största sannolikheten den rikaste stratigrafiska differensen från upptogos med olika apparatur för den längsta, omfattande drygt 11 m och fig. 2). Denna överlagras, nedifrån rå överst, vidare något lera och ett ca 2½ mm svaveljärnflammiga, samt lerigytta, nedanför niskt material men med skal av *Macromesistus*-skikt (skalhudsrester), övergen och nedtill med svaveljärnflammigt gyttjelagren är påfallande skarp. Överst i proppar från sjön, ett tunt, löst, huvudsakligen



(ca 65 km NNO om Stockholms centrum)  
an ca 600 m NNV om Limnologiska laboratoriet N däremot ett sakta stigande bottenplan.  
1 numrerade kryss 1—10. Gravfältet (yngre  
gåviken markerat med R. Ursprungliga pass-

approx. 65 km. NNE of Stockholm, with  
p-water site is situated about 600 m. NNW  
this site there is a steep rise, towards the  
situations of the sediment cores are marked  
ground (Later Iron Age or Viking time),  
an R. The original threshold of the lake lay

För nämnda institutioners välvillighet att ställa apparatur och personal till förfogande betygar undersökningsledningen sin tacksamhet. Som bas för fältarbetet användes Limnologiska laboratoriet vid Erken och Fältstationen Norr Malma. Fältarbetet och efterföljande bearbetningar ha skett med bidrag från Statens naturvetenskapliga forskningsråd.

Senare ha kompletterande materialinsamlingar och bearbetningar utförts för den pollenanalytiska undersökningen. Huvudparten av pollanalyserna har under min ledning utförts av amanuens Th. Candolin under senare hälften av 1950-talet och början av 1960-talet.

Undersökningen av sedimenten i östra delen av Erken, den för limnologiska studier mest aktuella delen av sjön, hade två syften:

- 1) Sedimentologisk undersökning, dvs. en orienterande undersökning av be-skaffenhet och fördelning av sedimenten.
- 2) Mikrofossilanalys, framför allt pollenanalsys, av utvalt material från för ändamålet lämpliga sedimentproppar.

### Sedimentologisk undersökning

Den djupkarta över östra delen av sjön Erken, som tidigare utarbetats vid Limnologiska laboratoriet (fig. 1), visar en markant bottentopografi i området N om laboratoriet. Från en något långsträckt djuphåla med drygt 20 m vattendjup stiger bottnen mot S brant upp mot bl. a. det s. k. Malmagrundet (efter sjöns sänkning på 1850-talet en liten holme) utanför laboratoriet, under det att den sluttar mycket sakta upp mot den motsatta stranden i norr. Svanbergaviken i sydost utgör en utvikning med maximalt djup på ca 5 m i centrum. Med ledning av denna djupkarta utvaldes vissa punkter, från vilka sedimentproppar skulle upptagas. Tidigare ha korta sedimentproppar upptagits från Erken av G. Lundqvist (1923 s. 42).

Likaväl som man kunde vänta sig anst  ende kambrosilur under den s. k. djuph  lan, om sådan berggrund   . h. t. kunde finnas i Erkendepressionen (jfr Addendum, s. 365), s   vore den st  rsta sedimentm  ktigheten och d  rmed f  rmodligen den rikaste stratigrafiska differentieringen att v  nta i djuph  lan. H  rifr  n upptogos med olika apparatur fem sedimentproppar, varav nr 1   r den l  ngsta, omfattande drygt 11 m och n  ende ca 1 m ned i mor  nen (se fig. 2). Denna   verlagras, nedifr  n r  knat, av varvig lera med fl  ckzon   verst, vidare n  got lera och ett ca 2   /2 m m  ktigt lager gyttjelera, b  dadera svavelj  rnflammiga, samt lergyttja, nederst (ca 4 m) mindre rik p   organiskt material men med skal av *Macoma baltica* och *Mytilus edulis* och s. k. periostracum-skikt (skalhudsrester),   verst (ca 1   /2 m) betydligt mer organogen och nedtill med svavelj  rnflammighet;   verg  naren mellan de b  da ler- gyttjelagren   r p  fallande skarp.   verst ligger, liksom i alla   vriga sedimentproppar fr  n sj  n, ett tunt, l  st, huvudsakligen organogen skikt (n  rmast

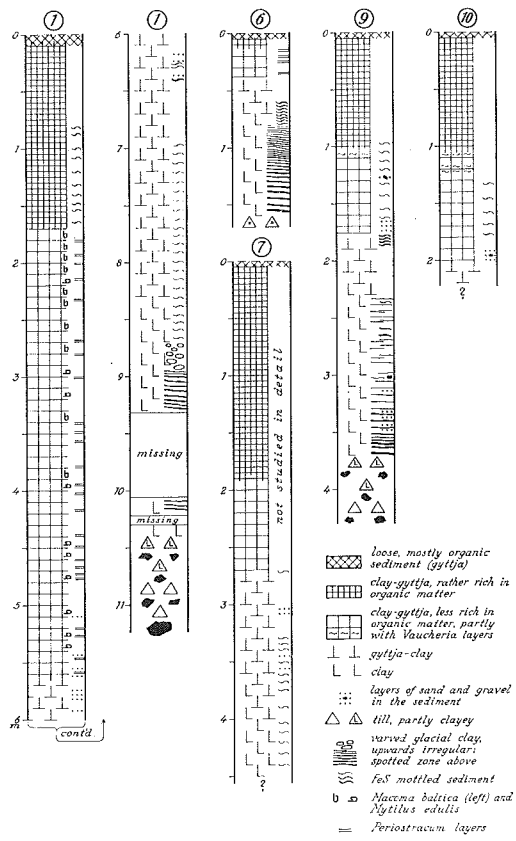


Fig. 2. Lagerföljden i några av de upphämtade sedimentpropparna, nämligen 1, 6, 7, 9 och 10 (se kartan fig. 1). Jfr f. ö. texten och pollendiagrammen.  
The stratigraphy of some of the sediment cores, 1, 6, 7, 9 and 10 (see the map, Fig. 1). Cf. the pollen diagrams.

gyttja). Se f. ö. fig. 2. Sedimentpropparna nr 2—5 avvika stratigrafiskt ej nämnvärt från nr 1.

Från det sakta sluttande bottenplanet mot norr upphämtades en propp (nr 6) 400 m NNV om djuphålan. Sedimentmäktigheten befanns här vara obetydlig, ca 1½ m, med morän som underlag. Det är här särskilt lergyttjelagren som äro tunna. Förmodligen äro betydande tidrymder ej representerade av sediment. Se f. ö. fig. 2.

I en mindre bottensvacka ett stycke utanför Svanbergavikens mynning (dvs. ca 800 m ONO om djuphålan) har däremot mer sediment kunnat avsättas. Se propp nr 7, fig. 2.

I Svanbergaviken (propp 8—10) har likaså en rikare sedimentation kunnat äga rum än ute på bottenplanet (propp nr 6). Se f. ö. propp nr 9 och 10, fig. 2.

Profilerna fig. 2 visa, jämförda med sedimentationen, naturligt nog, ägt rum i det fasta underlaget tenderat att att tionen fortskridit.

Jordartsbestämningen, som redovisats (fig. 3—6), har endast skett genom att halten organiskt material har sålunda vecklingsleden lera—gyttjelera—lergyttjelag (inslag) äro tydliga nog för att sedan av landhöjningen förändrade betingelserna i bäckenet (se nedan). Vissa kemiska undersökningar ha utförts av laborator P. Ekman.

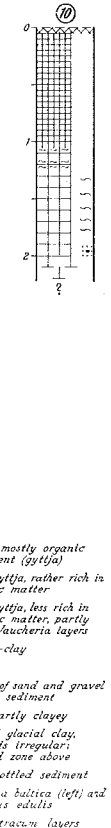
Vid återgivandet av jordarterna i läge använts, som delvis avviker från det i författningshållningen, att använda framställningssättet. Detta är vilket med sitt lätttritade L-tecken och L-tecken och å andra sidan, genomsnittet vertikalt, till nästa stadium, dvs. till lever kan förtäts vid ökat organogenitet. Redovisning krävs, förefaller detta enligt tillfyllest.

Sambandet mellan de på grund av författningshållningen för liv och sedimentation å ena sidan och den ändrade stratigrafien å andra sidan fört.

Under Erkenbäckenets ishavssättning sin fläckzon överst uppenbarligen den (jfr Järnefors 1956).

Den följande ler- och gyttjelavrinnandet är ägt rum under ett hundratal år i den djupaste delen av Erkenbäcken för datering av slutet på detta stadium. Picea-kurvans början några århundraden sedan.

Sandskikt, här och var med inslag i lergyttjans undre del markera, att tillhöra till havsytan och utsättas för bränning. Varar en lång tid, fram till isoleringen på 1850-talet och 1890-talet; jfr Ernst par, tre århundraden före Kristi födelse, intensitet av i genomsnitt en halv meter. Kännetecknande för fjärdstadiets sediment är av *Mytilus edulis*, särskilt i lergyttjan.



hämtade sedimentpropparna, nämligen 1, 6, 7, och pollendiagrammen.  
cores, 1, 6, 7, 9 and 10 (see the map, Fig. 1).

opporna nr 2—5 avvika stratigrafiskt ej

planet mot norr upphämtades en propp

Sedimentmäktigheten befanns här vara  
underlag. Det är här särskilt lergyttje-  
ärö betydande tidrymder ej represente-

cycke utanför Svanbergavikens mynning  
(an) har ändemot mer sediment kunnat

har likaså en rikare sedimentation kunnat  
ropp nr 6). Se f. ö. propp nr 9 och 10,

Profilerna fig. 2 visa, jämförda med nivåkartan fig. 1, att den kraftigaste sedimentationen, naturligt nog, ägt rum i djuphålan, och att nivåskillnaderna i det fasta underlaget tenderat att alltmer utjämns ju längre sedimentationen fortskridit.

Jordartsbestämningen, som redovisas i fig. 2 och t. v. i pollendiagrammen (fig. 3—6), har endast skett genom okulär bedömning. Någon bestämning av halten organiskt material har sålunda inte genomförts. Föreändringarna i utvecklingsleden lera—gyttjelera—lergyttja (mindre rik, resp. rikare på organogen inslag) äro tydliga nog för att sätta dem i samband med de på grund av landhöjningen förändrade betingelserna för liv och sedimentation i Erkenbäckenet (se nedan). Vissa kemiska undersökningar av sedimenten från djuphålan ha utförts av laborator P. Ekman; därmed närmare i ett kommande häfte.

Vid återgivandet av jordarterna i lagerföljsstaplarna har en enkel metod använts, som delvis avviker från det i svensk kvarträgeologisk litteratur oftast använda framställningssättet. Detta gäller närmast tecknet för gyttjelera, vilket med sitt lätttritade L-tecken ansluter sig å ena sidan till lerans L-tecken och å andra sidan, genom sammanbindningar horisontellt och vertikalt, till nästa stadium, dvs. till lergyttjan med sin rutsignatur som i sin tur kan förtätas vid ökat organogen inslag. När inte större krav på detaljredovisning krävs, förefaller detta enkla stratigrafiska åskådliggörande vara tillfylleste.

Sambandet mellan de på grund av landhöjningen förändrade betingelserna för liv och sedimentation å ena sidan och den på några olika punkter konstaterade stratigrafien å andra sidan förtjänar ytterligare kommentarer.

Under Erkenbäckenets *ishavsstadium* avsattes varvig lera. Denna har med sin fläckzon överst uppenbarligen den för norra Uppland normala utformningen (jfr Järnefors 1956).

Den följande ler- och gyttjeleravsättningen med svaveljärnbildning har uppenbarligen ägt rum under ett *havstadium*, då det allra mesta avsatts i den djupaste delen av Erkenbäckenet. Pollendiagrammen ge ingen ledning för datering av slutet på detta stadium. Det ligger i varje fall väsentligt före *Picea*-kurvens början några århundraden före Kristi födelse.

Sandskikt, här och var med inslag av fint grus, i gyttjeleras övre del och lergyttjans undre del markera, att terrängen kring Erken börjat höjas upp till havsytan och utsättas för bränningsverkan. Ett *fjärdstadium* inleds. Detta varar en lång tid, fram till isoleringen av Erken (ca 12 m ö. h. före sänkningen på 1850-talet och 1890-talet; jfr Ernfors 1962), vilken torde ha inträffat ett par, tre århundraden före Kristi födelse, om man antar en landhöjningsintensitet av i genomsnitt en halv meter per århundrade (Granlund 1928). Kännetecknande för fjärdstadiets sediment i djuphålan är förekomst av skal av *Mytilus edulis*, särskilt i lergyttjans nedre del, och *Macoma baltica* med

tyngdpunkt i översta delen. Karakteristiskt för lergrädden är här också det ganska rikliga uppträdandet av s. k. periostraca-skikt, dvs. rester av molluskers skalhud. Vidare utmärks lergrädden — till skillnad från havsstadiets gyttjeler — av delvis påfallande ymnig förekomst av trenne mikrofossil av sär-eget slag, nämligen dinoflagellatcysterna *Hystrichosphaeridium (Operculodinium) centrocarpum* och *Hystrichosphaera furcata* samt suktorien *Staurophrya elegans*. De två förstnämnda, enligt Wall & Dale (1968 a, b och cit. litt.) att hänsöra till de recenta släktena *Protoceratium* resp. *Gonyaulax*, äro sedan länge kända som salt- och brackvattensindikatorer (Erdtman 1950, Fries 1951, 1962). *Staurophrya* synes dock icke tidigare ha observerats i våra senkvartära sediment. Dess rikliga uppträdande i djuphålans och begränsning till denna äro anmärkningsvärd. Mera om detta mikrofossil i ett kommande häfte.

Molluskernas begränsning till djuphålans lergrädda antyder, att de levat på branteren omedelbart S därö (se kartan fig 1) och därifrån fallit ned eller förts av ström till djupare läge. Detta sannolika förhållande ger anledning att misstanke, att åtminstone tidvis, även under följande insjöstadium, en erosion av sediment på eller ovanför nämnda brant kan ha ägt rum med följd att inneslutna mikrofossil kommit att redeponeras på djuphålans botten. Denna misstanke bekräftas av en jämförelsevis markant förekomst i insjölergrädden av den ovannämnda *Hystrichosphaera furcata* (se fig. 3 o. 4). I samma riktning pekar enligt välvilligt meddelande av docent Maj-Britt Florin inslag av brackvattensdiatoméer i insjölergrädden i en av djuphålans sedimentproppar. Uppträdandet av hystrichosphaeridéerna även i motsvarande lager på de andra provtagningsplatserna tyder emellertid på att en omfördelning av finpartiklar normalt kan äga rum i ett sedimentationsbäcken av föreiggående slag, dvs. att ett visst skikt kan innehålla redeponerade mikroorganismer som äro äldre än skiktet ifråga. Även om detta inslag är mycket blygsamt, manar det dock till försiktighet vid tolkning av "stänkförekomster" av mikrofossil i diagram.

Isoleringen från havet ett par, tre århundraden före Kristi födelse (se ovan) medför förändrade betingelser för liv och sedimentation. Ett ökat organogent inslag i lergrädden, försvinnandet av ovannämnda molluskskal och hystrichosphaeridéer (frånsett sannolik redeposition) jämte *Staurophrya* samt nyuppträdandet av *Pediastrum*-coenobier markera tillsammantagna Erkens *insjöstadium*. Svanbergavikens relativt lugna sedimentationsmiljö till-lät, att en *Vaucheria*-vegetation utbildades omedelbart före och under isoleringsprocessen (fig. 2, 5 o. 6). Svanbergaviken har också varit den lämpligare miljön för *Pediastrum*-produktion. Anmärkningsvärt är att denna lakustrina lergrädda praktiskt taget saknas i propp nr 6 från det flacka bottenplanet NNV om djuphålans. Även den tidigare sedimentationen har här varit obetydlig (jfr ovan). Strömmarnas fördelande och utjämnande verkan har fort-

satt också under insjöstadiet. Svaveljär-djuphålans lakustrina lergrädda. Ytskiktet huvudsakligen av organogen material. Vid upptagningen av propparna från d. upp ytroppar och låta dem frysna vid i fruset tillstånd tillämpades först senare v. na från Svanbergaviken.

## Landskapsförändring och vegetati

Fyra sedimentproppar, två från djuphålans underkastats *pollenanalytisk undersökning* vid ha också, förutom kärlkryptogamsproppar, nämligen de ovannämnda två *Hystrichosphaera elegans* och *Pediastrum*-coenobier.

Då omgivningen kring Erkenbäckenet i diagrammen omfatta kan antas ha varit pollenkärlmängden ( $\Sigma AP$ ) fått utgöra bas mikrofossilen ha, i brist på bättre sätt, k. nedåt i gyttjeleran (havsstadiet) starkt gränsen för pollenanalysens tillämpning. Heller någon mening med hänsyn till den transporten av pollen med vind och havssverkan på sedimentationen. Strängt taget gyttja som pollendiagrammen bli vegetat

Det längsta diagrammet (propp nr 1) möjligen ganska långt *fjärdstadium* från par, tre århundraden före Kristi födelse, av omgivande skärgårdslandskap bör ha dess slut, även om sedimentationsförhållanden. Pollendiagrammet visar emellertid större förändringar i vegetationslandskapet kommer den i stort sett ensartade men i tationen närmare Erkenbäckenet. Pollen upptåt. I jämförelse med förhållandet i insjöstadiet (dvs. drygt två tusen år), vis. mån lind och ask högre värden, trots att var mindre. Måhända är det här fråga kurvgången för trädpollenslagen under fast de fyra nedersta spektra avvika betraktigt högre värden på bl. a. björkens bekost

ristiskt för lergyttjan är här också det *terrostraca*-skikt, dvs. rester av molluskers — till skillnad från havsstadiets gyttje förekomst av trenne mikrofossil av särerna *Hystrichosphaeridium* (*Operculodina*) *furcata* samt suktorien *Staurophrya* (Vall & Dale (1968 a, b och cit. litt.) att *oceratum* resp. *Gonyaulax*, äro sedan sindsikatorer (Erdtman 1950, Fries 1951, eck tidigare ha observerats i våra senidande i djuphålan och begränsning till detta mikrofossil i ett kommande häfte. Hålans lergyttja antyder, att de levat på (fig 1) och därifrån fallit ned eller ta sannolika förhållande ger anledning även under följande insjöstadium, en sämnda brant kan ha ägt rum med följd att redeponeras på djuphålans botten. Hförelsevis markant förekomst i insjöler-*hosphaera furcata* (se fig. 3 o. 4). I likt meddelande av docent Maj-Britt er i insjöbergyttjan i en av djuphålans hystrichosphaeridéerna även i motsvarande platserna tyder emellertid på att en omän äga rum i ett sedimentationsbäcken skikt kan innehålla redeponerade mikrofråga. Även om detta inslag är mycket svigt vid tolkning av "stänkförekomster"

re århundraden före Kristi födelse (se r för liv och sedimentation. Ett ökat vinnandet av ovannämnda molluskskal (nnolik redeposition) jämte *Staurophrya* -coenobier markera tillsammantagna s relativt lugna sedimentationsmiljö till- dades omedelbart före och under isole- ergaviken har också varit den lämpligare nmärkningsvärt är att denna lakustrina opp nr 6 från det flacka bottenplanet. gare sedimentationen har här varit obe- lande och utjämnande verkan har fort-

satt också under insjöstadiet. Svaveljärnbildning utmärker nedre delen av djuphålans lakustrina lergyttja. Ytskiktet består i sitt mycket lösa tillstånd huvudsakligen av organogenet material. Åtskilligt av detta skikt gick förlorat vid upptagningen av propparna från djuphålan. Metoden att försiktigt ta upp ytproppar och låta dem frysas vid arbetsplatsen på isen för att styckas i fruset tillstånd tillämpades först senare vid de kompletterande provtagningarna från Svanbergaviken.

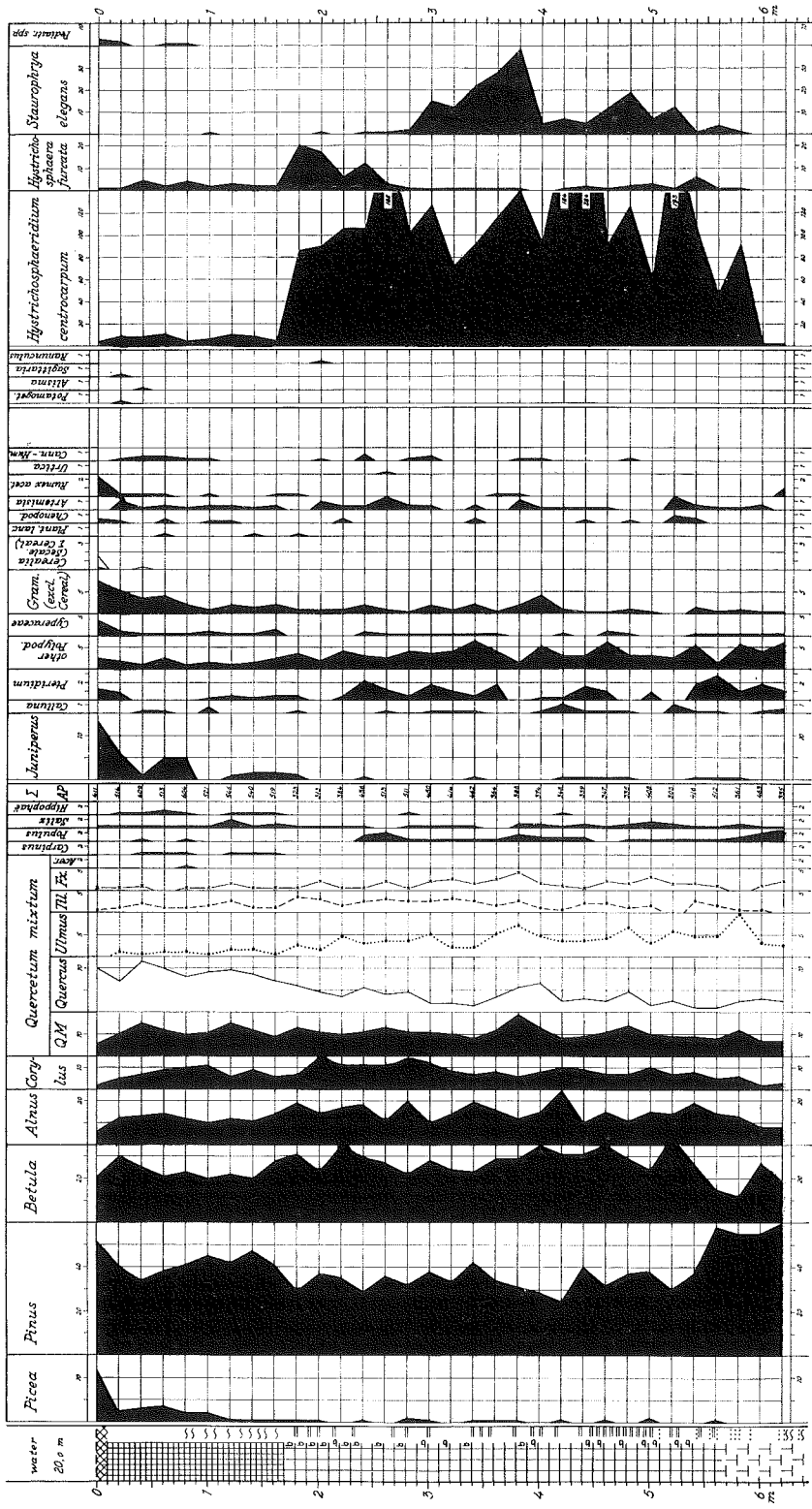
### Landskapsförändring och vegetationsutveckling

Fyra sedimentproppar, två från djuphålan och två från Svanbergaviken, ha underkastats *pollenanalytisk undersökning* på sedvanligt sätt (fig. 3–6). Härvid ha också, förutom kärlkryptogamsporer, vissa andra mikrofossil registrerats, nämligen de ovannämnda två *Hystrichosphaeridae*-typerna, *Staurophrya elegans* och *Pediastrum*-coenobier.

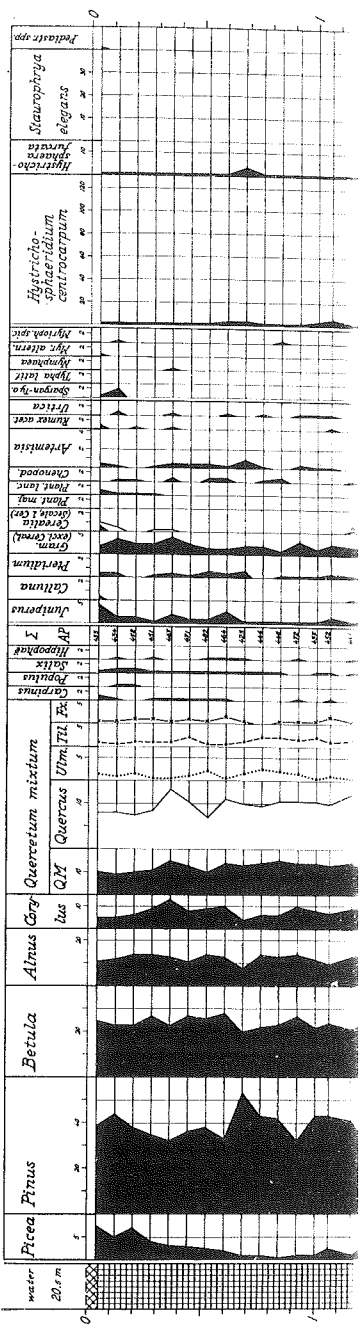
Då omgivningen kring Erkenbäckenet under större delen av den tid pollendiagrammen omfatta kan antas ha varit huvudsakligen skogklädd, har trädpollenmängden ( $\Sigma AP$ ) fått utgöra bas för procentuträkningen. De övriga mikrofossilna ha, i brist på bättre sätt, behandlats efter samma metod. Den nedåt i gyttjeleran (havsstadiet) starkt avtagande pollenfrekvensen sätter gränsen för pollenanalysens tillämpning. Den har i detta och äldre skikt ej heller någon mening med hänsyn till den vid motsvarande tid aktuella långtransporten av pollen med vind och havsströmmar med tid efter annan ändrad verkan på sedimentationen. Strängt taget är det först uppe i insjöstadiets lergyttja som pollendiagrammen bli vegetationshistoriskt mera upplysande.

Det längsta diagrammet (propp nr 1 från djuphålan) omfattar ett förmodligen ganska långt *fjärdstadium* fram till tiden för isoleringen, dvs. ett par, tre århundraden före Kristi födelse. Detta innebär att en förändring av omgivande skärgårdslandskap bör ha skett från detta stadiums början till dess slut, även om sedimentationsförhållandena varit relativt likartade hela tiden. Pollendiagrammet visar emellertid inga drag, som kunna antyda några större förändringar i vegetationslandskapet. Skärgården tätnar och därmed kommer den i stort sett ensartade men i detalj mosaikartade skärgårdsvegetationen närmare Erkenbäckenet. Pollenfrekvensen ökar också successivt uppåt. I jämförelse med förhållandet i de övre pollenspektra, motsvarande insjöstadiet (dvs. drygt två tusen år), visa kurvorna för alm samt i någon mån lind och ask högre värden, trots att den omgivande landarealen då var mindre. Måhända är det här fråga om ett värmetsdsdrag. I övrigt är kurvgången för trädpollenslagen under fjärdstadiet ganska indifferent. Endast de fyra nedersta spektra avvika beträffande tallen, som här visar betydligt högre värden på bl. a. björkens bekostnad. Bakom denna pollenfördelning

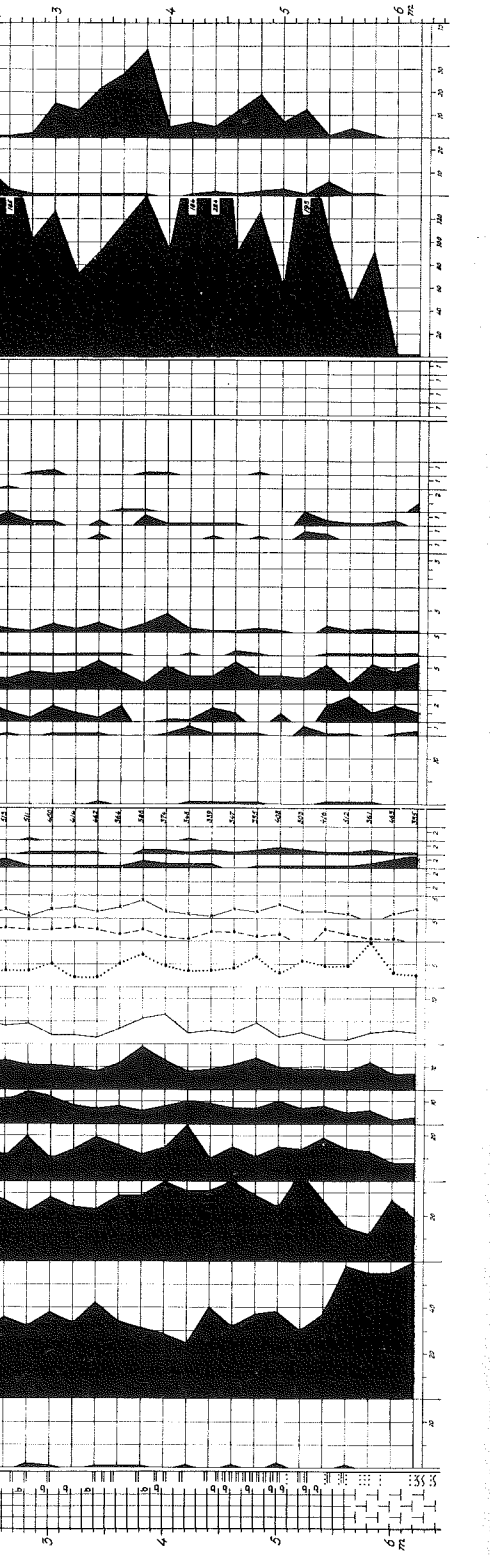
## 1. Lake Erken, the deep-water site



3 Lake Erken, the deep-water site.



↑  
Fig. 3. Pollendiagram från propp nr 1 i djupet 1,7 m. Procentuträkningarna grundade på träd  
The pollen diagram of core no. 1 in the deep-water site.  
The percentage calculation is based on the tree



3 Late Erken, the deep-water site.

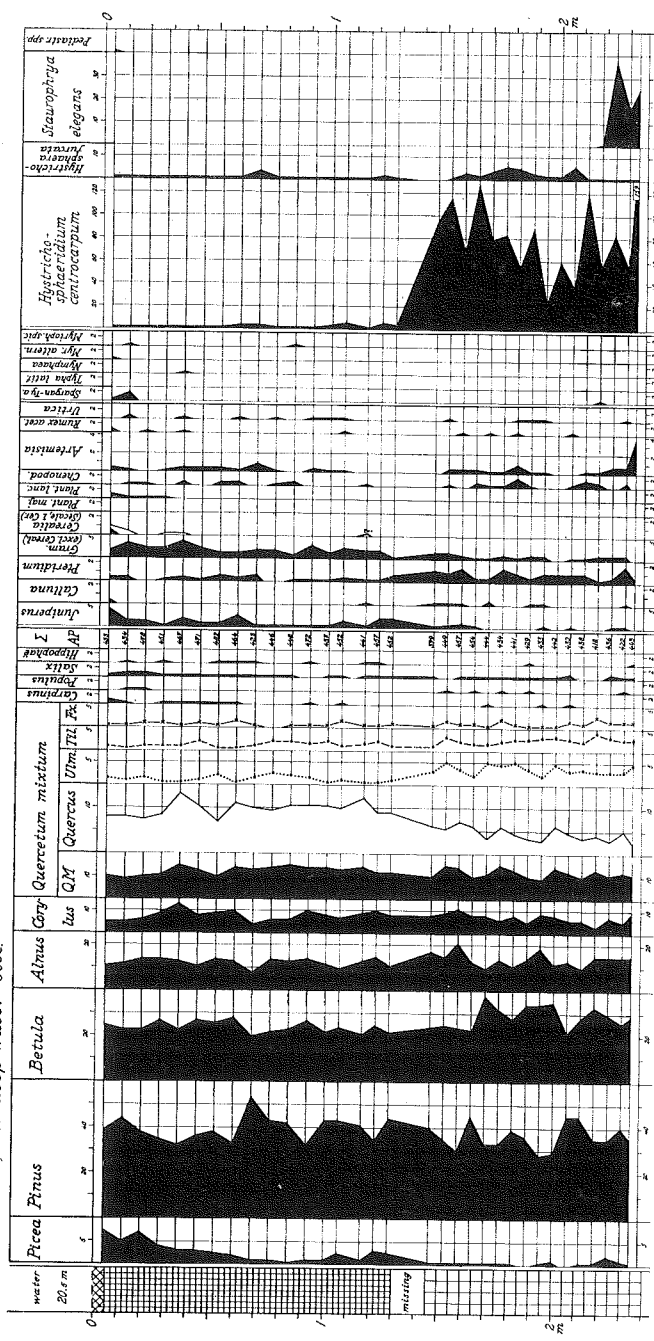


Fig. 3. Pollendiagram från propp nr 1 i djuphålan. Isoleringskontakten ligger på ca 1,7 m. Procentuträkningarna grundade på trädpollenmängden ( $\Sigma$  AP).  
Pollen diagram of core no. 1 in the deep-water site. The isolation contact lies at 1.7 m.  
The percentage calculation is based on the tree pollen sum ( $\Sigma$  AP).

Fig. 4. Pollendiagram från propp nr 3 i djuphålan. Isoleringskontakten ligger på ca 1,4 m. Se f. ö. texten till fig. 3.  
Pollen-diagram of core no. 3 in the deep-water site. The isolation contact lies at 1.4 m.  
See further the text of Fig. 3.

9. Lake Erken. Svanbergaviken, center of the bay

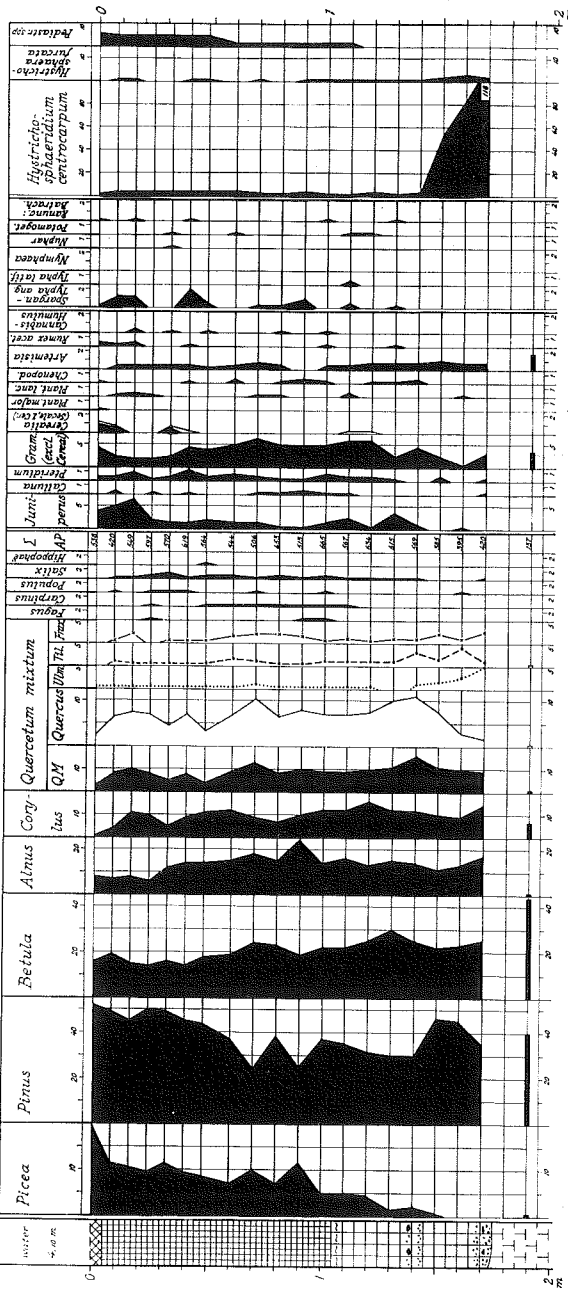
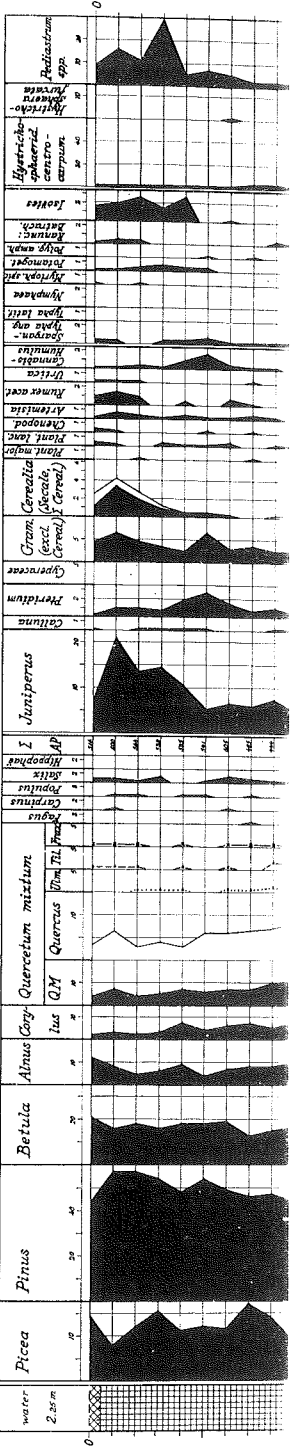
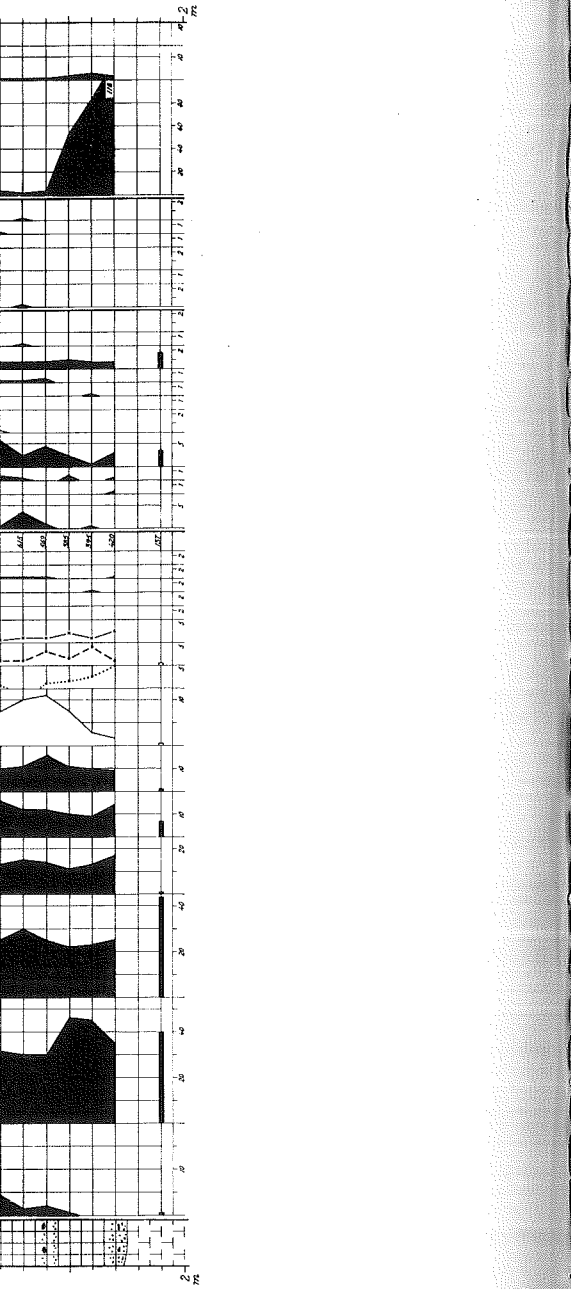


Fig. 5. Pollendiagram från propp nr 9 i Svanbergavikens mitt. Isoleringskontakten ligger på ca 1,05 m. Se f. ö. texten till fig. 3.

Pollen diagram of core no. 9 in the center of Svanbergaviken. The isolation contact lies at 1.05 m. See further the text of Fig. 3.

10. Lake Erken. Svanbergaviken, N of the Iron Age burial ground





Svanbergaviken mitt. Isoleringskontakten ligger  
center of Svanbergaviken. The isolation contact  
3.

70. Late Eriken, Svanbergaviken, N of the Iron Age burial ground

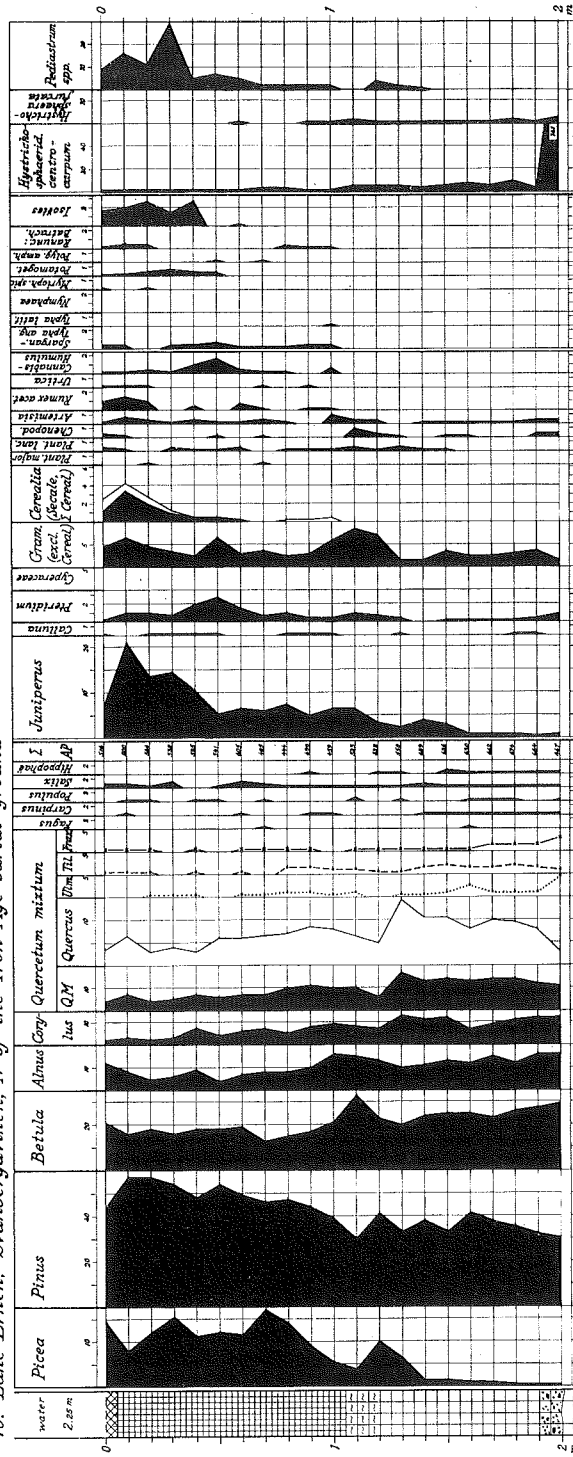


Fig. 6. Pollendiagram från propp nr 10 i Svanbergavikens södra del, N om gravfältet (yngre järnåldern, ev. vikingatid). På nivå 0,5 m ett Viscum-pollen. Isoleringskontakten ligger på ca 1,05 m. Se f. ö. texten till fig. 3.  
Pollen diagram of core no. 3 in the deep-water site. The isolation contact lies at 1.4 m.  
ground (Later Iron Age or Viking time). At level 0.5 m. one Viscum pollen. The  
isolation contact lies at 1.05 m. See further the text of Fig. 3.

torde ligga speciella lokala sedimentationsförhållanden. Förändringen sammanfaller också med övergången mellan vad som här kallas gyttjelera och lergyttja. Koncentrationen av *hystrichosphæridéerna* och *Staurophrya* till fjärdstadiet har ovan behandlats.

I och med övergången till *insjöstadiet* sker vissa förändringar i pollendiagrammen, i någon mån beroende på ändrade sedimentationsförhållanden men förmodligen främst på grund av att isoleringen i stort sett sammanfaller med — eller inträffar strax efter — den klimatförsämring som antas ha ägt rum i runt tal 500 före Kr. f. Trädpollenkurvornas förlopp äro i vissa avseenden något olika i diagrammen från djuphålan (fig. 3 o. 4) och från Svanbergaviken (fig. 5 o. 6). Detta gäller granpollenkurvan, som ovanför sin s. k. rationella gräns något nedom isoleringskontakten till att börja med visar betydligt lägre värden i djuphålan än i Svanbergavikens diagram. Såsom mera strandnära diagram avspeglar de sistnämnda mera lokala förhållanden. Påfallande är också i trädpollendiagrammet att eken, oberörd av ev. klimatförsämring under första årtusendet f. Kr., fortsätter sin före isoleringen påbörjade procentuella ökning, motsvarad av en minskning av de andra lövträdens, framför allt almens, representation. I Svanbergavikens diagram finner man emellertid en *Quercus*-nedgång ungefär halvvägs upp i insjölagerföljden, måhända avspeglande någon aktivitet från den i omgivningen bosatta vikingatidsbefolkningens sida. Man finner på motsvarande nivå i det mest strandnära diagrammet (fig. 6) omedelbart N om gravfältet vid Norr Malma (Einerstam & Thålin 1946) en förändring i icke-trädpollendiagrammet såtillvida att kurvorna för en och sädesslag, särskilt råg, stiga, sannolikt markerande en ökning av betesmarks- och åkerarealen (jfr även betr. *Juniperus* djuphålans diagram, fig. 3 o. 4). Någon överensstämmelse mellan kurvorna för dessa kulturindikatorer och för ogräs kan knappast skönjas. Detta förhållande får förmodligen ses mot bakgrunden av att de här redovisade ogrässlagen också kunna uppträda naturligt i strandvegetationen (jfr Almquist 1929 s. 250, 397 ff. o. Fries 1962 s. 90 f. ang. snarlika förhållanden kring nuv. Ösbysjön N om Stockholm). Förekomst av pollen av t. ex. *Plantago*-arter, *chenopodiaceer*, *Artemisia* cf. *vulgaris* och *Rumex* cf. *acetosella* har alltså ett begränsat värde som kulturindikatorer i kusttrakter.

Ett anmärkningsvärt inslag i NAP-diagrammet utgör den s. k. *Cannabis-Humulus*-typen, vilken är svår att hämföra till resp. släkten. Denna pollentyp börjar uppträda vid eller något efter isoleringsnivån, dvs. omkring Kristi födelse. Från äldre skeden finns endast få pollenkorn registrerade (fig. 3). Kurvan visar en tydlig kulmination vid mitten av insjöstadiet, sannolikt motsvarande vikingatiden (jfr ovan). Kurvgången är släende lik den i ett pollendiagram från Ösbysjön N om Stockholm (Fries 1962 pl. 3). I kommentarerna till sistnämnda diagram framhålls, under hänvisning även till andra där

citerade arbeten, att man sanolikt har bis) under vikingatid eller senare med mycket väl kunna härledas från vild s. 532).

Insjölagren innehålla som väntat representerande olika ståndorter, såsom *Alisma*, *Sparganium/Typha angustifol* *Nuphar*, *Nymphaea*, *Ranunculus subg. florum* och *spicatum* samt *Isoëtes* (fig. hänvisas till diagrammen).

#### Addendum

En kärnborrning genom den ytliga berggrunden strax norr om södra stranden och NN Avsikten med denna borrning var att utrakambro-ordoviciska lager på sjöns botten. Runt intill sjöns södra strand hade föranlett antalet berggrunden här bevarats genom nedräckning (ff.). Den erhållna borrkärnan visade sig dock som i berggrunden invid sjön. Den ovanstående härrör från en "moränskuta", fraktad från inom den lerrika längsta delen av underkämnaren occurring in especially great abundance in the lake (cf. Fig. 1). Howeberggrunden skulle bestå till stor del av gneiss.

- LITTERATURFÖRTECKNING
- ALMQUIST, E., 1929: Upplands vegetation och historie. *Hist. o. Antikv. Akad. Handl.* 62.
- ERDTMAN, G., 1950: Fynd av *Hystrichosphaeridium* från Stockholm. *förf. Vol. 72.*
- ERNFORS, S., 1962: PM angående rensningsprocessen i Östersjön. *Hydrol. Inst. Stencil. skr. HBK* 12/10 - 62.
- FRIES, M., 1951: Pollenanalytiska vittnesbördar från Södermanland. *Geol. fören. Stockholm förf. Vol. 72.*
- JÄRNFORSS, B., 1956: Isrecessionen inom Stockholm. *förf. Vol. 78.*
- KJELLMAN, W., KALLSTENIUS, T., & WAGER, 1947: A device for taking undisturbed samples from the bottom. *Inst. Proc. 1.*
- KULLENBERG, B., 1947: The piston core. *Ser. 3. Hydrogr. 1: 2.*
- LIVINGSTONE, D., 1955: A lightweight piston corer. *Geol. Mag.* 92, 1955, p. 1923.
- WALL, D., & DALE, B., 1968 a: Modern dinoflagellate dinoflagellates. *Micropaleontology*. 14.
- 1968 b: Early Pleistocene Dinoflagellates from the North Sea. *New Phytol.* 67.

tationsförhållanden. Förförändringen sammanvad vad som här kallas gyttjelera och chosphæridererna och *Staurophrya* till

diet sker vissa förändringar i pollendiandrade sedimentationsförhållanden men isoleringen i stort sett sammanfaller med klimatförsämring som antas ha ägt rum kurvornas förlopp äro i vissa avseenden ålan (fig. 3 o. 4) och från Svanbergapollenkurvan, som ovanför sin s. k. gskontakten till att börja med visar be-

Svanbergavikens diagram. Såsom mera nämnda mera lokala förhållanden. Påmet att eken, oberörd av ev. klimatförsämring, fortsätter sin före isoleringen påverkad av en minskning av de andra lövplantation. I Svanbergavikens diagram finns lång ungefär halvvägs upp i insjölageraktivitet från den i omgivningen bosatta inner på motsvarande nivå i det mest sällbart N om gravfältet vid Norr Malma ändring i icke-trädpollendiagrammet såsslag, särskilt råg, stiga, sannolikt mark i åkerarealen (jfr även betr. *Juniperus*) — gen överensstämmelse mellan kurvorna räts kan knappast skönjas. Detta förhållanden av att de här redovisade ogräsigt i strandvegetationen (jfr Almquist 190 f. ang. snarlika förhållanden kring förekomst av pollen av t. ex. *Plantago-vulgaris* och *Rumex* cf. *acetosella* har indikatorer i kusttrakter.

-diagrammet utgör den s. k. *Cannabis*-nföra till resp. släkten. Denna pollentyp är isoleringsnivån, dvs. omkring Kristi fast få pollenkorn registrerade (fig. 3). I mitten av insjöstadiet, sannolikt motvägången är släende lik den i ett pollentum (Fries 1962 pl. 3). I kommentarerna under hänvisning även till andra där

citerade arbeten, att man sannolikt har att göra med odling av hampa (*Cannabis*) under vikingatid eller senare men att strövis förekommande pollenkorn mycket väl kunna härledas från vild humle i strandsnår (jfr Almquist 1929 s. 532).

Insjölagen innehålla som väntat pollen och sporer av lakustrina växter representerande olika ståndorter, såsom *Potamogeton* sp. el. spp., *Sagittaria*, *Alisma*, *Sparganium/Typha angustifolia*, *T. latifolia*, *Polygonum amphibium*, *Nuphar*, *Nymphaea*, *Ranunculus* subgen. *Batrachium*, *Myriophyllum alterniflorum* och *spicatum* samt *Isoëtes* (fig. 6). Beträffande uppträdet i detalj hänvisas till diagrammen.

Skogshögskolan, Stockholm 50

#### Addendum

En kärnbörrning genom den ytliga berggrunden utfördes från isen inom sjöns djupaste del strax norr om södra stranden och NNV om Limnologiska laboratoriet vid Erken. Avsikten med denna borrhning var att utröna om det fanns något fast anstående av kambrö-ordoviciska lager på sjöns botten. Rikedomen av block från sådana lager vid och intill sjöns södra strand hade föranlett antagandet, att en rest av den gamla paleozoiska berggrunden här bevarats genom nedslänkning i postsilurisk tid (GFF 52/1930 s. 147 ff.). Den erhållna borrkärnan visade sig bestå av gnejs, d.v.s. samma slags kristallin som i berggrunden invid sjön. Den ovannämnda blockrikedomen får sálunda anses härrör från en "moränskuta", fraktad från det sydbotttniska området och där avlossnad inom den lerrika lägsta delen av underkambrum. — *Cambro-Ordovician boulders occurring in especially great abundance in the till along the southern side of Lake Erken were supposed to indicate local remnants of the Old-Paleozoic bedrock in the deepest part of the lake (cf. Fig. 1) However, a diamond boring revealed the bedrock to consist of gneiss.*

Per Thorslund

#### LITTERATURFÖRTECKNING

- ALMQUIST, E., 1929: Upplands vegetation och flora. *Acta phytogeogr. Suec.* 1.  
EINERSTAM, B., & THÄLIN, H., 1946: Estuna. Antikvariska studier. II. *Kungl. Vitt. Hist. o. Antiku. Akad. Handl.* 62.  
ERDTMAN, G., 1950: Fynd av *Hystrichosphaera furcata* i Gullmarn. *Geol. fören. Stockholm förhandl.* Vol. 72.  
ERNFORS, S., 1962: PM angående rensningar i Erkens utlopp. *Sveriges Meteorol. o. Hydrol. Inst. Stencil. skr. HBK* 12/10–62.  
FRIES, M., 1951: Pollenanalytiska vittnesbörd om senkvartär vegetationsutveckling, särskilt skogshistoria, i nordvästra Götaland. (Zusammenfass.) *Acta phytogeogr. Suec.* 29.  
— 1962: Studies of the sediments and the vegetational history in the Ösbyssjö basin north of Stockholm. *Oikos*, Vol. 13.  
GRANLUND, E., 1928: Landhöjningen i Stockholmstrakten efter människans invandring. *Geol. fören. Stockholm förhandl.* Vol. 50.  
JÄRNEFORS, B., 1956: Isrecessionen inom Uppsalaområdet. (Abstract.) *Geol. fören. Stockholm förhandl.* Vol. 78.  
KJELLMAN, W., KALLSTENIUS, T., & WAGER, O., 1950: Soil sampler with metal foils. Device for taking undisturbed samples of very great length. *R. Swed. Geotechn. Inst. Proc.* 1.  
KULLENBERG, B., 1947: The piston core sampler. *Sv. Hydrogr.-Biol. Komm.:s Skr. Ser. 3. Hydrogr.* 1: 2.  
LIVINGSTONE, D., 1955: A lightweight piston sampler for lake deposits. *Ecology*. 36.  
LUNDQVIST, G., 1923: Några nya rörlodtyper. *Skr. utg. av Södra Sveriges Fiskerifören.* 1923.  
WALL, D., & DALE, B., 1968 a: Modern dinoflagellate cyst and evolution of the Peridiniales. *Micropaleontology*. 14.  
— 1968 b: Early Pleistocene Dinoflagellates from the Royal Society Borehole at Ludham, Norfolk. *New Phytol.* 67.

GEOLOGISKA FÖRENINGENS I STOCKHOLM  
FÖRHANDLINGAR

INNEHÅLL

CONTENTS

UPPSATSER · ARTICLES

- GILLBERG, G.: A great till section on Kinnekulle, W Sweden . . . . . 313  
KÖNIGSSON, L.-K.: Ein Profil des höchsten Litorinawalls bei  
Snausarve, Südgötaland . . . . . 343  
FRIES, M.: Sedimentproppar och pollendiagram från sjön Erken,  
östra Mellansverige . . . . . 353  
KÖNIGSSON, L.-K., Sju riddaresträsk . . . . . 366  
ÅSE, L.-E.: Strandförsöksgjutningen i Stockholms-trakten under de  
senaste c. 300 åren . . . . . 374  
DIGERFELDT, G. and LETTEVALL, U.: A new type of sediment  
sampler . . . . . 399  
POULSEN, V.: The types of *Raymondaspis limbata* (ANGELIN,  
1854), class *Trilobita* . . . . . 407

NOTISER · NOTES

- WENNER, C.-G.: Översikt av det internationella samarbetet . . . . . 417  
FÅHRÆUS, L. E.: *Spathognathodus steinhornensis remsciedensis*  
Ziegler 1960 and the age of the Ohessaare Stage of Estonia:  
A reply to D. Kaljo & V. Viira . . . . . 433  
KÖNIGSSON, L.-K.: Eine rezente Torflinse in einem Strandwall  
auf Gotland . . . . . 435  
NILSSON, E.: The late Quaternary History of the Kattegatt and  
the Swedish West Coast . . . . . 437  
REYMENT, R. A.: A note on *Promicroceras* . . . . . 440  
WELINDER, S.: Alleröd mould . . . . . 442  
LUNDBERG, B.: Möte med Society for Geology Applied to mineral  
deposits (S. G. A.) i Vichy 1969 . . . . . 446

- GEOLOGNYTT · PROFESSIONAL NEWS . . . . . 447